



Title: Innovative Approaches in Teaching Modal Analysis: Utilizing Additive Manufacturing for Structural Engineering Education

Authors: Centeno-Moreno, Alan Ibrahim, Torres-Cedillo, Sergio Guillermo, Cortes-Pérez, Jacinto and Reyes-Solís, Alberto

Editorial label ECORFAN: 607-8695
BCIERMMI Control Number: 2024-01
BCIERMMI Classification (2024): 241024-0001
RNA: 03-2010-032610115700-14
Pages: 12

- ROR Centro Tecnológico Aragón, FES- UNAM LBI-0.442-2024 0009-0004-3506-1492 2057518
- ROR Centro Tecnológico Aragón, FES- UNAM 0000-0002-3297-6409 229481
- ROR Centro Tecnológico Aragón, FES- UNAM 209116
- ROR Centro Tecnológico Aragón, FES- UNAM 0000-0002-5208-8919

CONAHCYT classification:
Area: Engineering
Field: Engineering
Discipline: Mechanical engineering
Subdiscipline: Modal analysis

ECORFAN-México, S.C.
Park Pedregal Business. 3580,
Anillo Perif., San Jerónimo
Aculco, Álvaro Obregón,
01900 Ciudad de México, CDMX,
Phone: +52 1 55 6159 2296
Skype: ecorfan-mexico.s.c.
E-mail: contacto@ecorfan.org
Facebook: ECORFAN-México S. C.
Twitter: @EcorfanC

www.ecorfan.org

Holdings		
Mexico	Colombia	Guatemala
Bolivia	Cameroon	Democratic Republic
Spain	El Salvador	Republic of Congo
Ecuador	Taiwan	
Peru	Paraguay	Nicaragua

CONTENIDO DE LA PRESENTACIÓN

I. Introducción

II. Metodología

III. Resultados

IV. Conclusiones

V. Referencias

I. Introducción

¿Por qué emplear la manufactura aditiva en la creación de bancos de prueba?

- Fabricación de estructuras **tridimensionales**.
- Alternativa a materiales convencionales en **diversas aplicaciones**.
- Implementación en **entornos educativos** para fomentar el aprendizaje práctico.

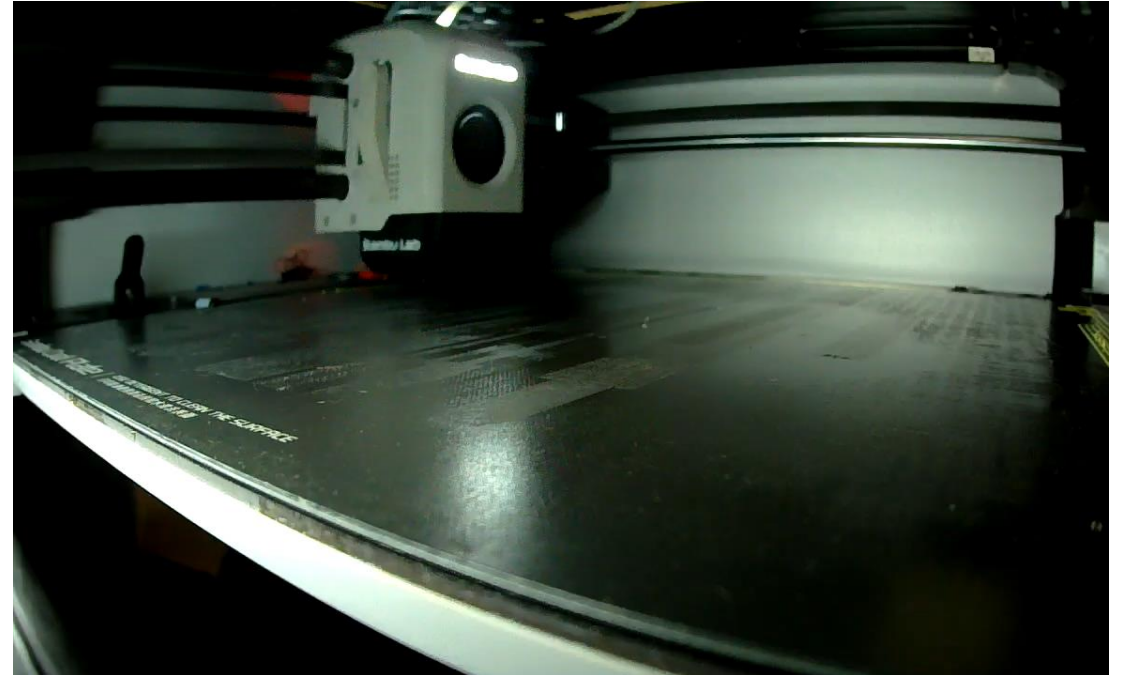


Figura 1. Ejemplo de manufactura aditiva

Ventajas de la impresión 3D en bancos de pruebas académicos

- Optimización en los **tiempos de producción**.
- Capacidad para fabricar **geometrías complejas** con mayor precisión.
- Incremento en la **sostenibilidad** de los procesos productivos.
- Producción de piezas con menor peso, manteniendo sus propiedades estructurales.

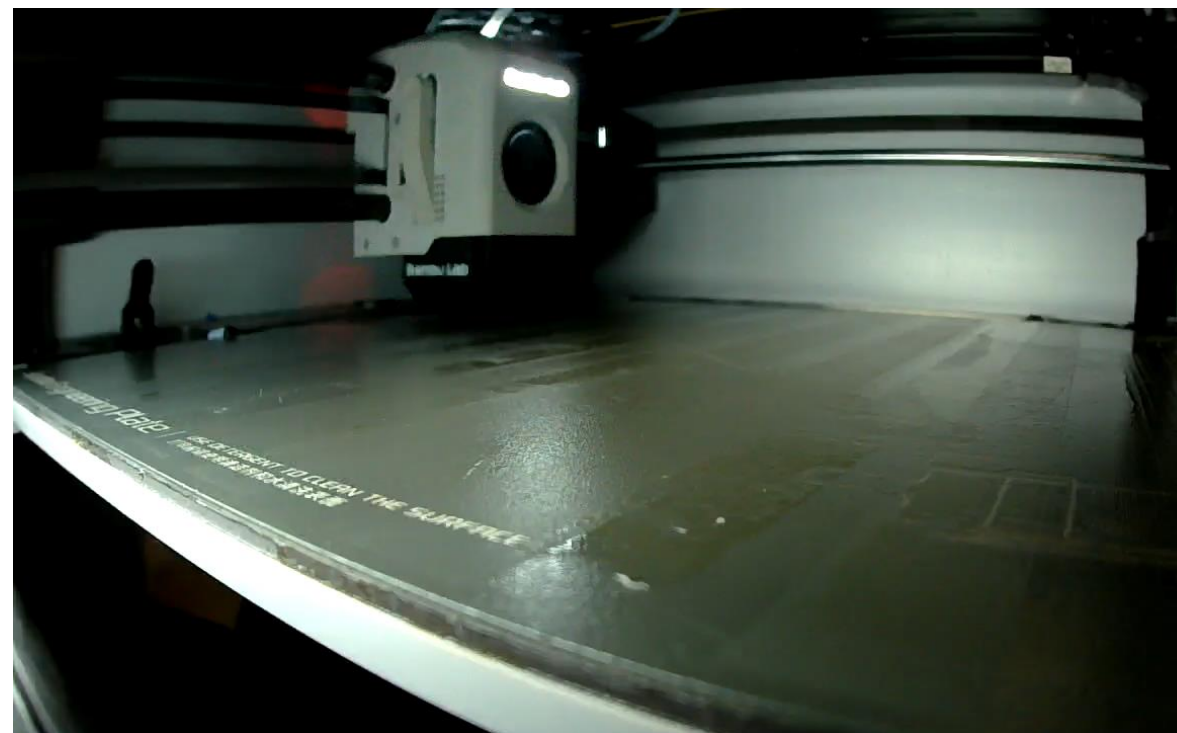


Figura 2. Ejemplo de manufactura aditiva

II. Metodología



-Elementos de inercia

-Elementos de rigidez

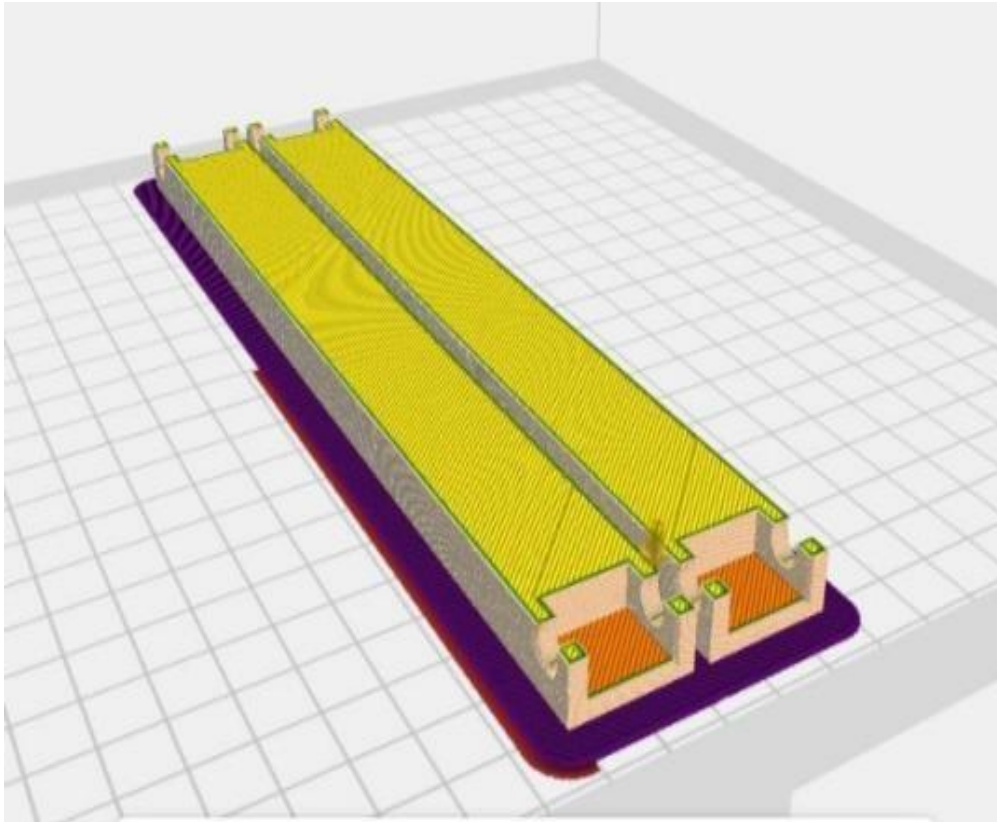
-Uniones



Figura 4. Impresoras 3D CTA Aragón

Figura 3. Plataforma académica

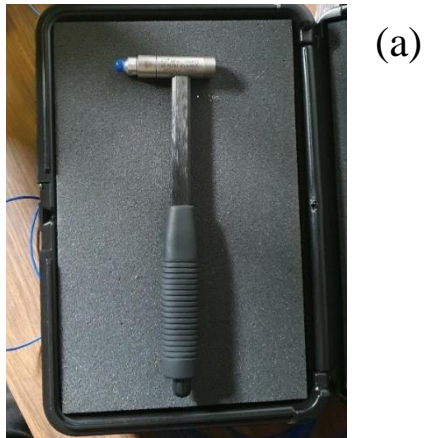
MODIFICACION DE RIGIDECES



- Medidas de 20 x 0.5 cm con espesor de $\frac{1}{2}$ "
- Orificios correspondientes para las uniones
- Elementos de perfil rectangular
- Modificación para 4 densidades: 100%, 75%, 50%, 25%

Figura 5. Laminado de elemento de rigidez

INSTRUMENTACION



(a)

Figura 6. Martillo de impacto PCB PIEZOTRONICS 086C03



(b)

Figura 7. Acelerómetro PCB PIZOTRONICS ICP 352 C03



(c)

Figura 8. KRYPTON-4xACC



(d)

Figura 9. Software Dewesoft

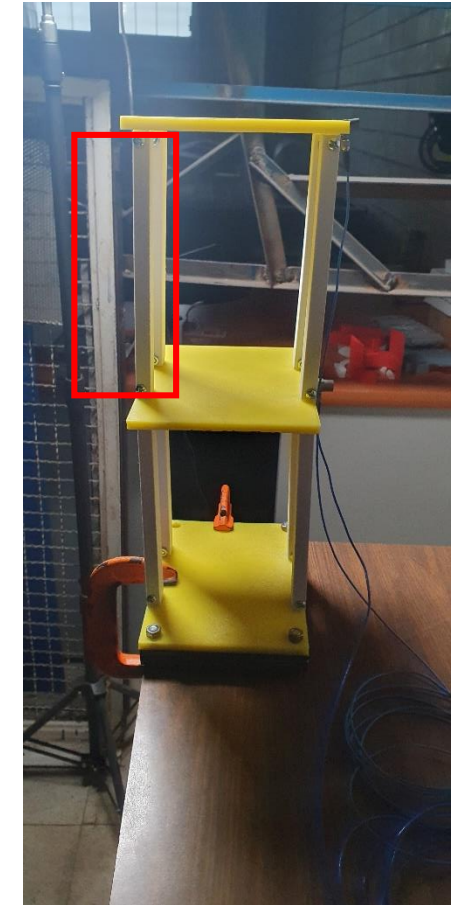
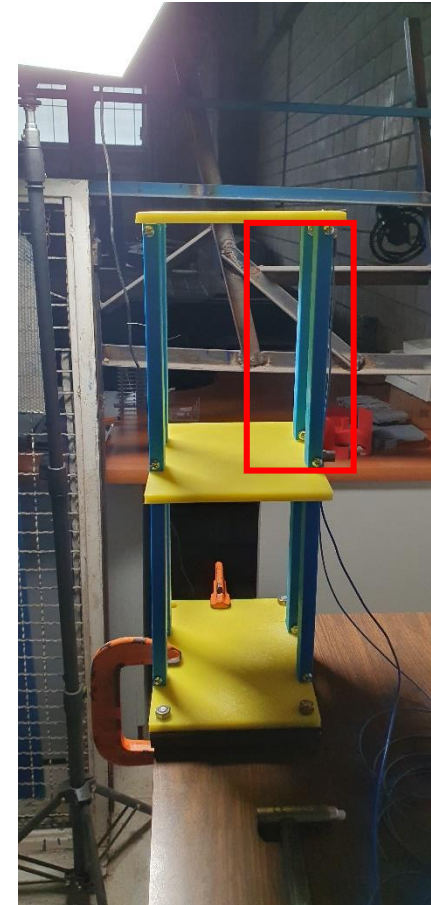
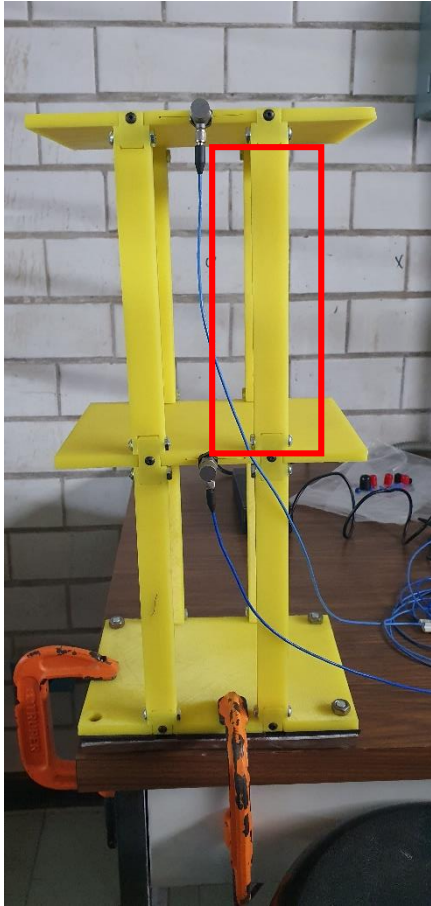


Figura 10. Instrumentación de **100%**

Figura 11. Instrumentación de **75%**

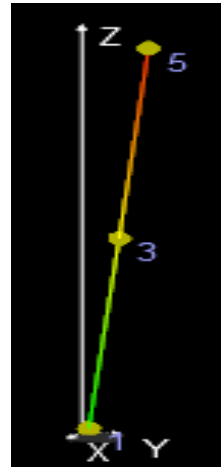
Figura 12. Instrumentación de **50%**

Figura 13. Instrumentación de **25%**

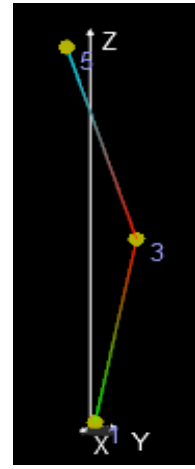
III. RESULTADOS

Figura 14. Modos de vibración **100%**.

- Primer modo
- Segundo modo
- Diagrama FRF



(a)



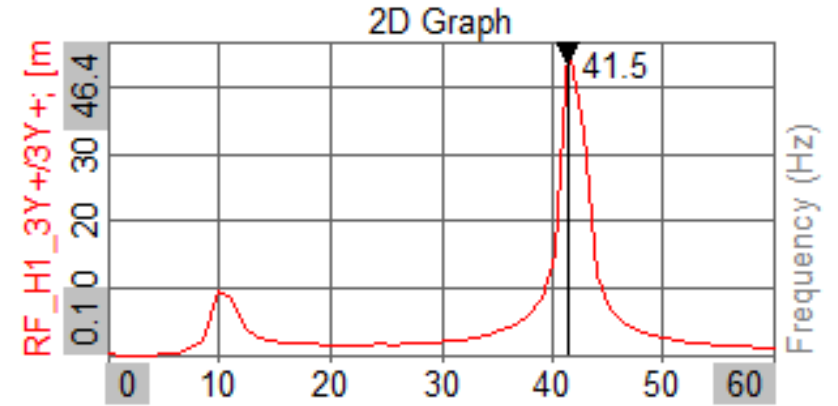
(b)

Modo 1 = 10.36 Hz

$$\eta = 0.036$$

Modo 2 = 41.5 Hz

$$\eta = 0.012$$



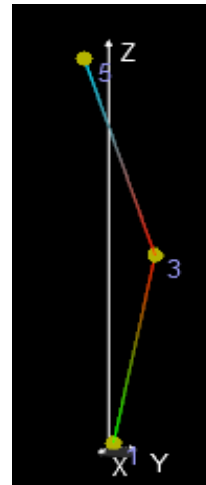
FRF 100%

Figura 15. Modos de vibración **75%**.

- Primer modo
- Segundo modo
- Diagrama FRF



(a)



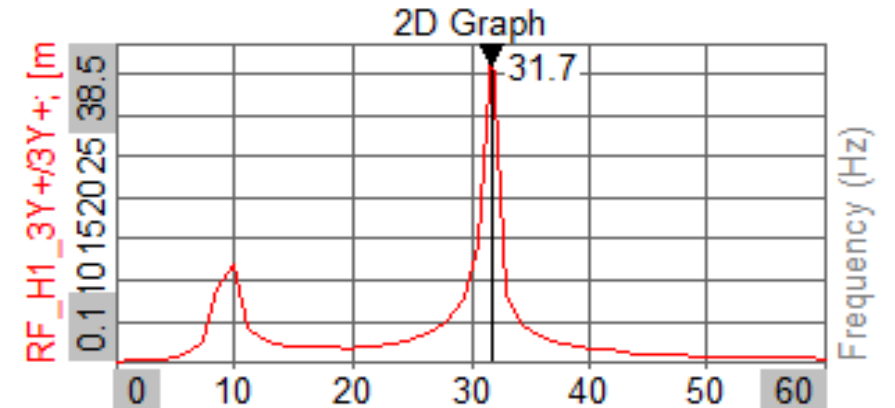
(b)

Modo 1 = 9.8 Hz

$$\eta = 0.022$$

Modo 2 = 31.7 Hz

$$\eta = 0.015$$

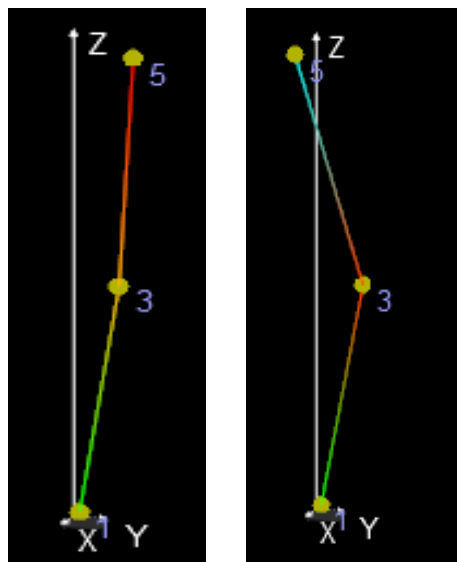


FRF 75%

III. RESULTADOS

Figura 13. Modos de vibración **50%**.

- a) Primer modo
- b) Segundo modo
- c) Diagrama FRF



(a)

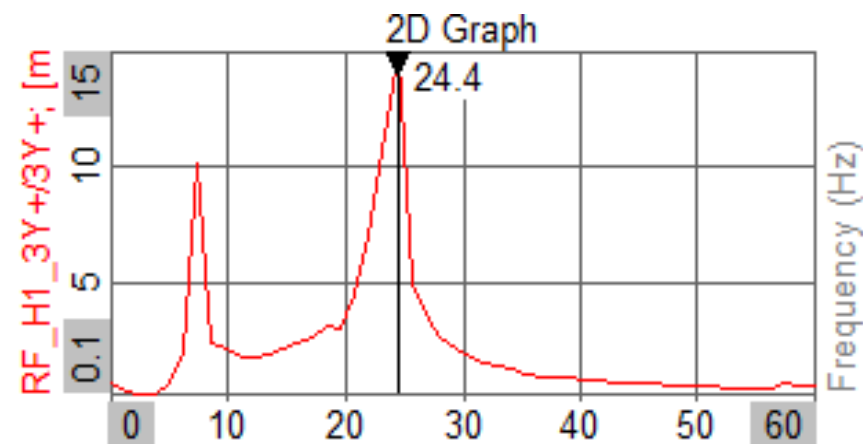
(b)

Modo 1 = 7.3 Hz

$\eta = 0.050$

Modo 2 = 24.4 Hz

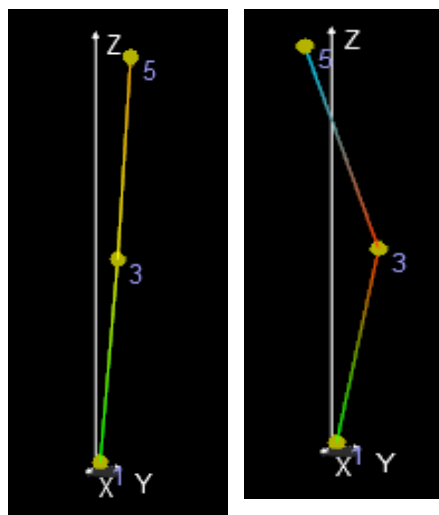
$\eta = 0.070$



FRF 50%

Figura 13. Modos de vibración **25%**.

- a) Primer modo
- b) Segundo modo
- c) Diagrama FRF

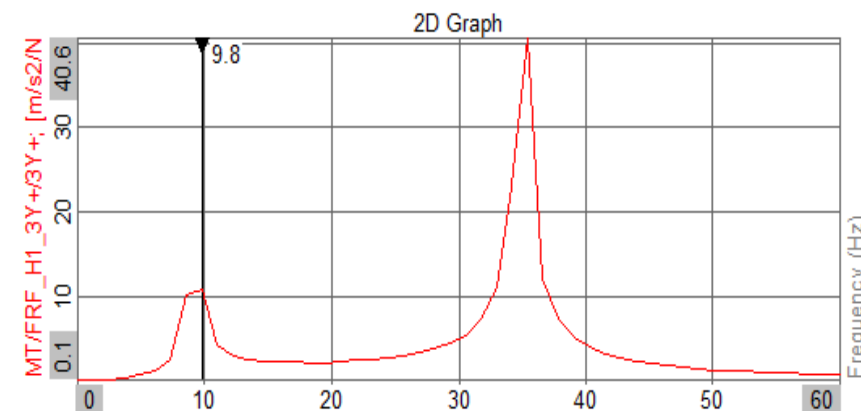


Modo 1 = 9.15 Hz

$\eta = 0.030$

Modo 2 = 34.9 Hz

$\eta = 0.025$



FRF 25%

Densidad de relleno (%)	Modo	Frecuencia Natural(Hz)	Factor de Perdida de Amortiguamiento (η)	Media η
100	1	10.36	0.036	0.024
	2	41.5	0.012	
75	1	9.8	0.022	0.018
	2	31.7	0.015	
50	1	7.3	0.050	0.06
	2	24.4	0.070	
25	1	9.15	0.030	0.027
	2	34.9	0.025	

Tabla 1. Frecuencia natural y relación de amortiguamiento

IV. CONCLUSIONES

- Manufactura aditiva con enfoque potencial en enseñanza
- Modos de vibración primarios precisos.
- Articulaciones presentan espectros de respuesta particulares
- Aplicación de distintos apoyos.
- Correcciones para uniones fijas.

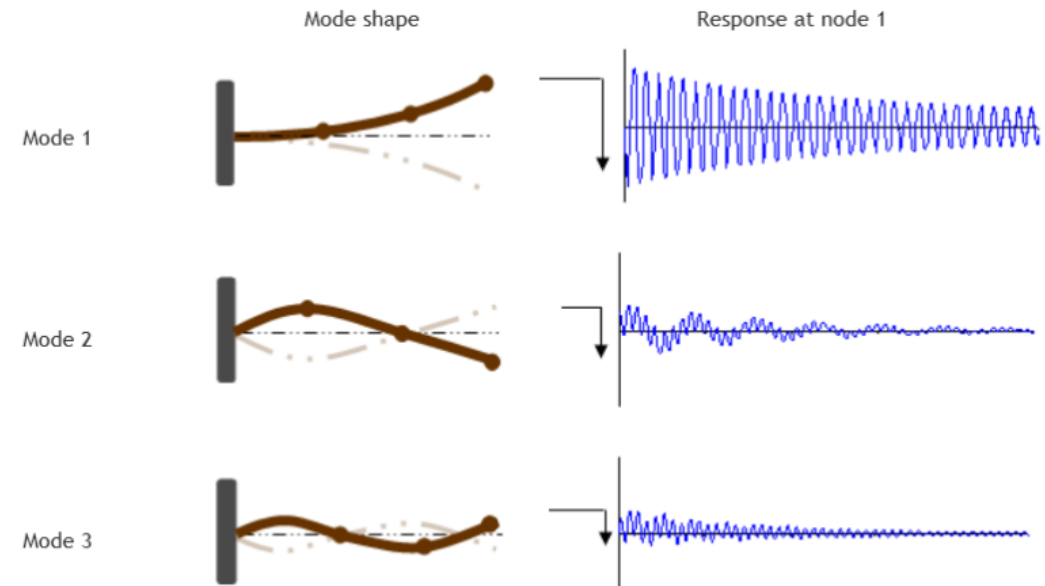


Figura 16. Modos de vibración de una viga empotrada [18]



V. REFERENCIAS



- [1] S. S. Rao, *Mechanical Vibrations*. Pearson Education, Incorporated, 2017. [Online]. Available: <https://books.google.com.mx/books?id=t6gHswEACAAJ>
- [2] G. Kouroussis, B. Fekih, C. Conti, and O. Verlinden, *EasyMod: A MatLab/SciLab toolbox for teaching modal analysis*, vol. 4. 2012.
- [3] A. Oktav, “Identification of non-proportional structural damping using experimental modal analysis data,” *Journal of Measurements in Engineering*, vol. 8, no. 1, 2020, doi: 10.21595/jme.2020.21259.
- [4] S. François et al., “Stabil: An educational Matlab toolbox for static and dynamic structural analysis,” *Computer Applications in Engineering Education*, vol. 29, no. 5, 2021, doi: 10.1002/cae.22391.
- [5] D. Ji and L. Li, “Modal analysis of frame structure teaching building,” in *2014 International Conference on Mechatronics, Electronic, Industrial and Control Engineering, MEIC 2014*, 2014. doi: 10.2991/meic-14.2014.388.
- [6] S. G. Guzmán Ríos, “Dictamen estructural de un edificio localizado en zona de transición de la Ciudad de México, utilizando diferentes programas especializados para el análisis y diseño estructural.,” *UNIVERSIDAD NACIONAL AUTÓNOMA DE MÉXICO*, 2020. Accessed: Aug. 15, 2024. [Online]. Available: <http://www.ptolomeo.unam.mx:8080/xmlui/handle/RepoFi/18146?show=full>
- [7] D. W. Ghatole, “Modal Analysis Of A Stepped Bar Using Matlab & Ansys,” *Int J Innov Res Sci Eng Technol*, vol. 7, no. 3, 2018.
- [8] S. J. S. Tabatabaei and A. M. Fattahi, “A finite element method for modal analysis of FGM plates,” *Mechanics Based Design of Structures and Machines*, vol. 50, no. 4, 2022, doi: 10.1080/15397734.2020.1744004.
- [9] Ö. Şahin and N. Caglar, “Simulation-Based Model-Updating Method for Linear Dynamic Structural Systems,” *Applied Sciences (Switzerland)*, vol. 13, no. 18, 2023, doi: 10.3390/app131810494.
- [10] A. Brandt, *Noise and Vibration Analysis: Signal Analysis and Experimental Procedures*, Second Edition. 2023. doi: 10.1002/9780470978160.
- [11] M. Ceballos, J. Stuardi, and G. Chiappero, “Calibración de modelos numéricos de un pórtico mediante técnicas de análisis modal experimental,” *Revista De La Facultad De Ciencias Exactas, Físicas Y Naturales*, vol. 9, no. 2, pp. 37–47, Dec. 2022.
- [12] C. Riley, “Teaching modal analysis with mobile devices,” in *ASEE Annual Conference and Exposition, Conference Proceedings*, 2018. doi: 10.18260/1-2--31059.
- [13] M. Jiménez, L. Romero, I. A. Domínguez, M. del M. Espinosa, and M. Domínguez, “Additive Manufacturing Technologies: An Overview about 3D Printing Methods and Future Prospects,” *Complexity*, vol. 2019, p. 9656938, 2019, doi: 10.1155/2019/9656938.
- [14] S. Ford and T. Minshall, “Invited review article: Where and how 3D printing is used in teaching and education,” 2019. doi: 10.1016/j.addma.2018.10.028.
- [15] J. Ginsberg, and W. Seemann, “Mechanical and Structural Vibration: Theory and Applications,” *Appl Mech Rev*, vol. 54, no. 4, 2001, doi: 10.1115/1.1383673.
- [16] D. J. Ewins, “Modal Analysis and Modal Testing,” in *Handbook of Noise and Vibration Control*, 2008. doi: 10.1002/9780470209707.ch47.
- [17] K. G. McConnell, “Modal testing,” 2001. doi: 10.1098/rsta.2000.0711
- [18] Molero, B. (2016, January 22). *Teoría de vibraciones*. <https://iberisa.wordpress.com/tag/frequency-response/>



ECORFAN®

© ECORFAN-Mexico, S.C.

No part of this document covered by the Federal Copyright Law may be reproduced, transmitted or used in any form or medium, whether graphic, electronic or mechanical, including but not limited to the following: Citations in articles and comments Bibliographical, compilation of radio or electronic journalistic data. For the effects of articles 13, 162, 163 fraction I, 164 fraction I, 168, 169, 209 fraction III and other relative of the Federal Law of Copyright. Violations: Be forced to prosecute under Mexican copyright law. The use of general descriptive names, registered names, trademarks, in this publication do not imply, uniformly in the absence of a specific statement, that such names are exempt from the relevant protector in laws and regulations of Mexico and therefore free for General use of the international scientific community. BCIERMMI is part of the media of ECORFAN-Mexico, S.C., E: 94-443.F: 008- (www.ecorfan.org/ booklets)